

А. Э. Гутерман, Е. М. Крейнс, Н. В. Остроухова

## 2-СЛОВА: ИХ ГРАФЫ И МАТРИЦЫ

### §1. ВВЕДЕНИЕ

2-слова и соответствующие им простые сборные графы являются важными понятиями нетривиально связанных между собой разделов алгебры и геометрии. Следующие два направления исследований активно развиваются в связи с различными приложениями этих математических понятий. Первое из них – изучение численных инвариантов 2-слов, таких как сборное число, минимальное реализующее число, род и т.д. Второе связано с конструкциями, позволяющими строить новые семейства сборных графов по имеющимся.

В данной работе мы рассматриваем конечные графы  $\Gamma = (V, E)$ , с множеством вершин  $V$  и множеством ребер  $E \subseteq V \times V$ . Граф может содержать петли и кратные ребра.

**Определение 1.1.** *Степень* или *валентность* вершины  $v \in V$  – это число ребер, инцидентных данной вершине. Если ребро дважды инцидентно вершине (такое ребро называют петлей), оно учитывается дважды.

**Определение 1.2** ([1, с. 3022]). Циклический порядок для кортежа из  $k$  элементов  $(x_1, x_2, x_3, \dots, x_{k-1}, x_k)$  – это множество

$$\begin{aligned} (x_1, x_2, x_3, \dots, x_{k-1}, x_k)^{cyc} = \{ & (x_1, x_2, x_3, \dots, x_{k-1}, x_k), \\ & (x_2, x_3, \dots, x_{k-1}, x_k, x_1), (x_3, \dots, x_{k-1}, x_k, x_1, x_2), \dots, \\ & (x_k, x_1, x_2, x_3, \dots, x_{k-1}), (x_k, x_{k-1}, x_{k-2}, \dots, x_2, x_1), \\ & (x_{k-1}, x_{k-2}, \dots, x_2, x_1, x_k), (x_{k-2}, \dots, x_2, x_1, x_k, x_{k-1}), \dots, \\ & (x_1, x_k, x_{k-1}, x_{k-2}, \dots, x_2)\}, \end{aligned}$$

т.е. все циклические сдвиги данного кортежа и все циклические сдвиги этого же кортежа, записанного в обратном порядке.

---

*Ключевые слова:* сборные графы, 2-слова, матрицы инцидентности.  
Работа выполнена при поддержке гранта РФФИ 17-11-01124.

Чтобы задать циклический порядок, достаточно одного элемента множества  $(x_1, x_2, x_3, \dots, x_{k-1}, x_k)^{cyc}$ , остальные получаются циклическими сдвигами и записыванием их в обратном порядке.

**Определение 1.3.** Если циклический порядок ребер, инцидентных вершине  $v$  зафиксирован, говорят, что вершина *упорядоченная* (или, иногда, *регулярная*).

**Замечание 1.4.** 1. Например, для графа, вложенного в ориентированную поверхность, все его вершины регулярные.

2. Для каждого из ребер упорядоченной вершины корректно определены его *соседи*.

Регулярная вершина валентности  $n$  называется также  $n$ -регулярной.

**Пример 1.5.** На рисунке 1 изображена упорядоченная вершина валентности 4 с циклическим порядком ребер  $(e_1, e_2, e_3, e_4)$ . Нетрудно видеть, что ребра  $e_2$  и  $e_4$  являются соседями ребра  $e_1$  (или  $e_3$ ) в вершине  $v$ .

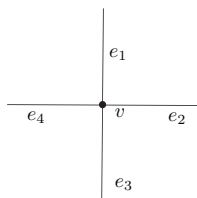


Рис. 1. Упорядоченная вершина валентности 4

В работе [5] исследуется особый тип упорядоченных графов, называемых сборными графами. Эти графы встречаются в генетике и используются для описания эпигенетических геномных перестроек.

**Определение 1.6.** *Сборным графом* называется конечный связный граф, в котором все вершины упорядоченные и имеют валентность 1 или 4.

**Определение 1.7.** Вершины валентности 1 называются *концевыми*.

**Определение 1.8.** Число 4-регулярных вершин сборного графа  $\Gamma$  называется *порядком*  $\Gamma$  и обозначается  $|\Gamma|$ .

**Определение 1.9.** Сборный граф называется *тривиальным*, если  $|\Gamma| = 0$ .

**Определение 1.10.** Говорят, что сборные графы  $\Gamma_1 = (V_1, E_1)$ ,  $\Gamma_2 = (V_2, E_2)$  *изоморфны*, если  $|\Gamma_1| = |\Gamma_2|$  и существует изоморфизм  $\phi : V_1 \rightarrow V_2$ , такой, что:

1. для любых  $u, v \in V_1$  ребро  $(u, v) \in E_1$  тогда и только тогда, когда  $(\phi(u), \phi(v)) \in E_2$ ;
2. для любой  $u \in V_1$  циклический порядок ребер в  $u$  совпадает с циклическим порядком их  $\phi$ -образов в  $\phi(u)$ .

Заметим, что два графа могут быть изоморфны как абстрактные графы, но не изоморфны как сборные графы.

**Пример 1.11.** Рассмотрим графы  $\Gamma_A$  и  $\Gamma_B$  на рисунке 2, порядок ребер и отношение соседства очевидно из рисунка. К примеру, порядок ребер графа  $\Gamma_A$  в вершине 2 определяется как  $(a, b, c, d)^{cyc}$ , в то время как порядок ребер графа  $\Gamma_B$  в вершине 2 соответствует  $(a, c, b, d)^{cyc}$ . Эти графы, очевидно, изоморфны в общем смысле. Тем не менее, этот изоморфизм не сохраняет циклический порядок ребер в вершине 2. В графе  $\Gamma_A$  ребра  $d$  и  $b$  – соседи ребра  $a$  в вершине 2, но в графе  $\Gamma_B$  ребро  $a$  является соседом для  $c$  и  $d$  в вершине 2.

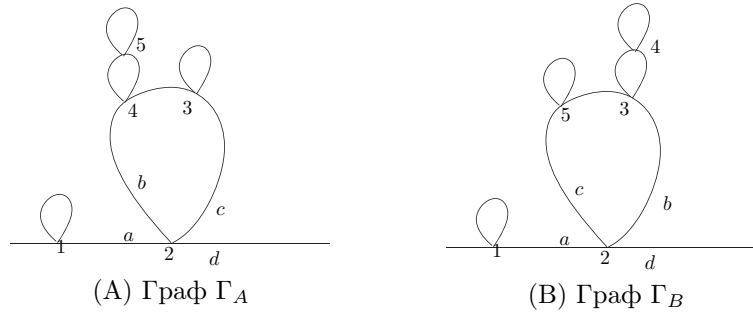


Рис. 2. Сборные графы, изоморфные в общем смысле, но не как сборные графы.

**Определение 1.12.** *Путь* из вершины  $u$  в вершину  $v$  графа  $\Gamma$  – это последовательность вершин  $u, w_1, \dots, w_l, v \in V(\Gamma)$  и ребер  $(u, w_1), (w_1, w_2), \dots, (w_l, v) \in E(\Gamma)$ , в которой вершины и ребра не обязательно различны. Путь, в котором вершины не повторяются, называется

*простым*. Путь, состоящий всего из одной вершины, называется *одно-точечным*.

**Определение 1.13.** *Трансверсальный путь*, или *трансверсаль* – это путь в графе  $\Gamma$ , в котором все ребра попарно различны, а последовательные ребра не являются соседями в их общей вершине в смысле введенного выше упорядочения вершин.

**Определение 1.14.** Трансверсаль называется *эйлеровой*, если она проходит по всем ребрам графа  $\Gamma$ .

**Определение 1.15.** Сборный граф, в котором существует эйлерова трансверсаль, называется *простым сборным графом*.

**Определение 1.16.** Путь, в котором все вершины попарно различны, а последовательные ребра являются соседями в их общей вершине, называется *полигональным*.

**Лемма 1.17.** Пусть  $\Gamma$  – простой сборный граф с двумя концевыми вершинами,  $|\Gamma| = n$ . Тогда граф  $\Gamma$  состоит из  $2n + 1$  ребра. Если у графа  $\Gamma$  нет концевых вершин, то он содержит  $2n$  ребер.

**Доказательство.** Поскольку в простом сборном графе имеется эйлерова трансверсаль, вершин валентности 1 либо нет, либо две, а все остальные вершины имеют валентность 4.

Посчитаем число ребер. Для этого просуммируем валентности всех вершин и разделим результат на 2, поскольку каждое ребро учтено в этой сумме дважды. В случае двух концевых вершин число ребер равно  $\frac{4 \cdot n + 2}{2} = 2n + 1$ , а в случае, когда концевых вершин нет, число ребер равно  $\frac{4 \cdot n}{2} = 2n$ .  $\square$

Если в сборном графе  $\Gamma$ ,  $|\Gamma| = n$ , существует эйлерова трансверсальный путь, то можно выбрать ориентацию этого пути и получить таким образом ориентированный (или направленный) простой сборный граф. Таким образом, концевых вершин в простом сборном графе или ноль, или две. В случае двух концевых вершин ориентированная эйлерова трансверсаль начинается в одной из них (обозначим эту вершину 0), а заканчивается в другой – обозначим эту вершину  $n + 1$ .

**Определение 1.18.** Два трансверсальных пути эквивалентны, если они совпадают или один из них – это другой путь, приведенный в обратном порядке.

Далее, если иное не указано явным образом, все графы считаются простыми сборными графами с ровно двумя концевыми вершинами.

Сборные графы естественным образом связаны со специальным классом слов.

**Определение 1.19.** Сборное слово или *2-слово* – это слово в некотором алфавите  $S = \{a_1, a_2, \dots\}$  такое, что каждая буква  $a_i$  либо содержится в слове ровно два раза, либо не содержится вовсе.

**Определение 1.20.** Слово  $w^R = a_{i_k} \dots a_{i_1}$  называется обратным к слову  $w = a_{i_1} \dots a_{i_k}$ .

**Определение 1.21.** 2-слова называются *эквивалентными*, если после переименования некоторых букв они либо совпадают, либо являются обратными друг для друга.

**Пример 1.22.** Слово  $w = 123321$  эквивалентно своему обратному, а слово  $w' = 213132$  совпадает с  $w^R$ , если переобозначить буквы  $1 \leftrightarrow 3$ .

Пустое 2-слово обозначается  $\epsilon$ .

Следующая теорема связывает сборные графы и 2-слова.

**Теорема 1.23** ([1, лемма 3.8]). *Классы эквивалентности 2-слов находятся в биективном соответствии с классами изоморфизма простых сборных графов.*

Пример ниже иллюстрирует данную теорему.

**Пример 1.24.** Сборные 2-слова для графов  $\Gamma_A$  и  $\Gamma_B$  из примера 1.11, изоморфных как абстрактные графы, но не как сборные графы, – это 1123345542 и 1123443552 соответственно. Легко проверить, что эти сборные слова не эквивалентны.

Для построения слова по графу можно использовать следующий алгоритм.

**Алгоритм 1.25.**

- (1) Пометим все 4-валентные вершины графа  $\Gamma$  натуральными числами  $1, \dots, |\Gamma|$ .
- (2) Выберем одну из вершин валентности 1 в качестве начала трансверсали и назовем ее начальной.
- (3) Будем двигаться по трансверсальному пути, стартуя, с начальной вершины, и будем записывать номер 4-валентной вершины каждый раз, когда трансверсаль через нее проходит.

Поскольку валентность каждой из помеченных вершин равна 4, а трансверсальный путь, по определению, проходит по всем ребрам, он пройдет через каждую из 4-валентных вершин дважды, таким образом мы получим 2-слово.

Предположим, нам дано 2-слово  $\omega = w_1 w_2 \dots w_{2n-1} w_{2n}$ . В этом случае  $w_i$  обозначает  $i$ -ую букву в слове и, поэтому, не все  $w_i$  различны. Для того, чтобы нарисовать соответствующий граф, можно воспользоваться следующим алгоритмом.

### Алгоритм 1.26.

- (1) Нарисуем начальную вершину и исходящее из нее ребро.
- (2) Поставим на этом ребре вершину и пометим ее буквой  $w_1$ , нарисуем ребро, выходящее из вершины  $w_1$ . Отметим, что вершина  $w_1$  пока получилась 2-валентной.
- (3) Каждая из букв  $w_i$ ,  $i \in \{2, 3, \dots, 2n-1\}$  обрабатывается следующим образом.
  - (a) На предыдущем шаге построен граф, выделена вершина,  $w_{i-1}$ , и исходящее из нее ребро, второй конец которого пока не определен.
  - (b) В случае, если буква  $w_i$  ранее не встречалась в слове  $\omega$ , поставим новую вершину на ребре, исходящем из  $w_{i-1}$ , пометим ее буквой  $w_i$ , нарисуем исходящее ребро и перейдем к началу шага 3. Отметим, что вершина  $w_i$  получилась 2-валентной, что означает, в частности, что в слове  $\omega$  есть еще буквы, кроме  $w_i$ .
  - (c) Если буква  $w_i$  ранее встречалась в  $\omega$ , то, по построению, граф содержит 2-валентную вершину  $v_k$ , помеченную буквой  $w_i$ . Обозначим ребра, инцидентные  $v_k$ , через  $e_1^k, e_2^k$ . В этом случае, мы соединяем вершину  $w_{i-1}$  с вершиной  $v_k$  таким образом, чтобы новое ребро  $e_3^k$  входило в вершину между ребрами  $e_1^k$  и  $e_2^k$ . Нарисуем исходящее ребро  $e_4^k$  между ребрами  $e_1^k$  и  $e_2^k$  там, где между ними пока нет ребер. Заметим, что в силу определения 1.2 неважно, получим мы в вершине  $k$  ребра в порядке  $(e_1^k, e_3^k, e_2^k, e_4^k)$  или  $(e_1^k, e_4^k, e_2^k, e_3^k)$  (по часовой стрелке, начиная с  $e_1^k$ ), поскольку оба кортежа задают один и тот же циклический порядок ребер в вершине.
  - (d) Если в слове  $\omega$  есть еще буквы, кроме  $w_i$ , возвращаемся в начало шага 3, иначе переходим к следующему шагу.

(4) Когда мы обработали последнюю букву слова, очевидно, это ее второе вхождение, мы завершаем нарисованный «перекресток» ребер конечной вершиной.

На рисунке 3 изображен процесс построения сборного графа по слову 1221.

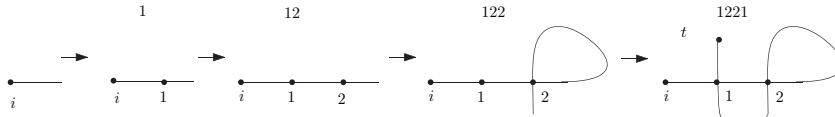


Рис. 3. Построение простого сборного графа по слову 1221.

Для заданного 2-слова  $w$  соответствующий ему сборный граф мы будем обозначать  $\Gamma_w$ . Пустое слово  $\epsilon$  соответствует двум вершинам 0 и 1, соединенным ребром.

**Определение 1.27.** Композиция  $\Gamma_1 \circ \Gamma_2$  двух ориентированных простых сборных графов  $\Gamma_1$  и  $\Gamma_2$  – это граф, который получается если отождествить конечную вершину  $\Gamma_1$  и начальную вершину  $\Gamma_2$ , после чего забыть об этой вершине.

**Замечание 1.28.** Очевидно, что композиция простых сборных графов – простой сборный граф.

Композиция двух слов – это их конкатенация. Из определения немедленно следует, что для сборных слов  $w_1, w_2$  мы имеем  $\Gamma_{w_1} \circ \Gamma_{w_2} = \Gamma_{w_1 w_2}$ .

Вообще говоря, графы  $\Gamma_1 \circ \Gamma_2$  и  $\Gamma_2 \circ \Gamma_1$  не изоморфны. Рассмотрим, к примеру,  $\Gamma_{aa}$  и  $\Gamma_{bbcdcd}$ . Имеем:  $\Gamma_1 \circ \Gamma_2 = \Gamma_{aabbcdcd}$ , в то время как  $\Gamma_2 \circ \Gamma_1 = \Gamma_{bbcdcaaa}$ .

**Определение 1.29.** Композиция  $\underbrace{\Gamma \circ \Gamma \circ \dots \circ \Gamma}_k$  называется  $k$ -той степенью графа  $\Gamma$  и обозначается  $\Gamma^k$ .

Введем теперь понятия гамильтонова множества полигональных путей и, соответственно, сборного числа, которые являются главным предметом наших исследований. Эти характеристики сборных графов подробно рассматривались в [1, 2, 5].

**Определение 1.30.** Два пути не пересекаются, если у них нет общих вершин.

Мы рассматриваем полигональные непересекающиеся пути, покрывающие все вершины сборного графа.

**Определение 1.31.** Множество  $\{\gamma_1, \gamma_2, \dots, \gamma_k\}$  попарно непересекающихся полигональных путей в графе  $\Gamma$  называется гамильтоновым, если их объединение содержит все 4-валентные регулярные вершины графа  $\Gamma$ .

Например, множество всех вершин графа  $V(\Gamma)$  является гамильтоновым множеством одноточечных путей.

**Определение 1.32.** Полигональный путь  $\gamma$  называется гамильтоновым, если множество  $\{\gamma\}$  является гамильтоновым.

Пусть  $\Gamma$  – нетривиальный сборный граф.

**Определение 1.33.** Сборное число  $\Gamma$  (обозначается  $An(\Gamma)$ ) – это минимальный размер гамильтонова множества полигональных путей, т.е.  $\min\{k : \text{существует гамильтоново множество полигональных путей } \{\gamma_1, \gamma_2, \dots, \gamma_k\} \text{ в } \Gamma\}$ .

**Определение 1.34.** Граф, для которого  $An(\Gamma) = 1$ , называется реализуемым, иначе нереализуемым.

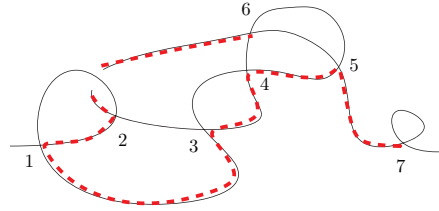


Рис. 4. Реализуемый граф со сборным словом 12134564326577 и гамильтоновым полигональным путем, обозначенным пунктиром.

**Определение 1.35.** Для натурального  $n$  минимальное реализующее число определяется как минимальный размер сборного графа со сборным числом  $n$ :  $R_{\min}(n) = \min\{|\Gamma| : An(\Gamma) = n\}$ .



Хорошо известно, что сборные графы используются для описания эпигенетических геномных перестроек, см., например, [6]. Следуя работе [1], мы кратко опишем здесь соответствующий процесс и некоторые попытки его моделирования. Более подробное описание можно найти в [1, 6] и упомянутых там источниках.

Существует два типа нуклеотидов, микронуклеус и макронуклеус, возможно в виде нескольких копий. Во время размножения происходит обмен только генами микронуклеуса. После конъюгации старый макронуклеус разрушается, а новый формируется с помощью одного из вновь образованных микронуклеусов. Эти процессы формирования ДНК включают удаление 95-98% сгенерированного ДНК, эффективную ликвидацию всего т.н. «мусорного» ДНК – некодирующих последовательностей (англ. internal eliminated sequences, IESs), которые прерывают закодированный ген. В силу того, что некодирующие последовательности разделяют кодирующие участки в микронуклеусе, каждый ген в макронуклеусе может быть представлен несколькими не идущими подряд сегментами (англ. macronuclear destined sequences, MDSs) микронуклеуса. Более того, для тысяч генов соответствующие этим сегментам части микронуклеуса могут быть перемешаны или идти в обратном порядке.

Известно несколько моделей рекомбинации ДНК [6–8, 10], а также гипотеза, что в процессе рекомбинации участвует дополнительная молекула [2, 10]. Последняя модель была экспериментально подтверждена, см. [9].

На основе этих наблюдений в [2] была представлена теоретическая модель, в которой молекулы в процессе рекомбинации представлены как пространственные графы. Эта модель описывает ген микронуклеуса как граф, все вершины которого регулярны и имеют валентности 1 или 4. Каждая 4-валентная вершина представляет собой участок, на котором происходит рекомбинация. Один ген микронуклеуса соответствует сборному графу, имеющему эйлеров путь, в котором последовательные ребра не являются «соседями» в их общей вершине. Заметим, что последовательность вершин, записанных в том порядке, в котором через них проходит эйлеров путь, как раз и формирует сборное слово.

Целью нашей работы является описание простых сборных графов с помощью их матриц инцидентности. В частности, мы характеризуем матрицы, соответствующие нескольким стандартными сериям графов,

и переводим на матричный язык некоторые важные с точки зрения генетики действия, производимые на графах. Например, мы описываем процедуру добавления петель и конкатеницию графов.

Настоящая работа имеет следующую структуру. В §2 приведены основные свойства матриц инцидентности сборных графов. §3 содержит конкретные примеры матриц инцидентности для специальных серий сборных графов. В §§4 и 5 мы описываем на языке матриц некоторые стандартные процедуры, применяемые к сборным графам, такие как (внутренняя) петельная подстановка и композиция, используемые в генетике.

## §2. МАТРИЦЫ ИНЦИДЕНТНОСТИ

В этом разделе мы напомним определение матрицы инцидентности произвольного графа и опишем несколько свойств матриц инцидентности простых сборных графов.

**Определение 2.1.** Пусть  $\Gamma$  – произвольный, не обязательно простой сборный, граф с вершинами  $v_1, \dots, v_n$  и ребрами  $e_1, e_2, \dots, e_m$ . Матрица инцидентности графа  $\Gamma$  – это целочисленная матрица  $I(\Gamma) = (a_{ij})$  размера  $n \times m$ , определяемая следующим образом:

$$a_{ij} = \begin{cases} 1, & \text{если } v_i \text{ инцидентно } e_j, \text{ и } e_j \text{ не является петлей,} \\ 2, & \text{если } v_i \text{ инцидентно } e_j, \text{ и } e_j \text{ – петля,} \\ 0 & \text{в остальных случаях.} \end{cases}$$

**Замечание 2.2.** Пусть  $\Gamma = (V, E)$ ,  $|\Gamma| = n$ , простой сборный граф. Мы можем пронумеровать его вершины и ребра в порядке неубывания, в соответствии с трансверсальным путем от начальной до конечной вершины, начиная с 0. По лемме 1.17, имеем  $V = \{0, 1, \dots, n, n+1\}$  и  $E = \{e_0, e_1, \dots, e_{2n-1}, e_{2n}\}$ .

**Определение 2.3.** Матрицей инцидентности простого сборного графа  $\Gamma$  называется такая его матрица инцидентности  $I(\Gamma)$ , порядок вершин и ребер в которой зафиксирован в соответствии с замечанием 2.2.

**Пример 2.4.** На рисунке 5 изображен граф со сборным словом  $w = 1122$ , ребра которого пронумерованы в том порядке, в котором мы встречаем их, проходя по трансверсали.

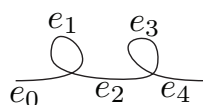


Рис. 5. Граф со сборным словом 1122.

Ниже представлена матрица инцидентности графа, изображенного на рисунке 5:

$$I(\Gamma_{1122}) = \begin{matrix} & e_0 & e_1 & e_2 & e_3 & e_4 \\ \begin{matrix} 0 \\ 1 \\ 2 \\ 3 \end{matrix} & \begin{pmatrix} 1 & 0 & 0 & 0 & 0 \\ 1 & 2 & 1 & 0 & 0 \\ 0 & 0 & 1 & 2 & 1 \\ 0 & 0 & 0 & 0 & 1 \end{pmatrix} \end{matrix}.$$

**Предложение 2.5.** Матрицы инцидентности простых сборных графов обладают следующими свойствами.

- (1) Матрица инцидентности простого сборного графа с  $|\Gamma| = n$  содержит  $n + 2$  строки и  $2n + 1$  столбец.
- (2) Сумма элементов строки во всех строках, кроме первой и последней, равна 4. В первой и последней строках сумма элементов равна 1.
- (3) Два столбца, не идущих подряд и имеющих общую строку с ненулевыми элементами, соответствуют двум ребрам, которые являются соседями в своей общей вершине.
- (4) Два соседних столбца, соответствующих ребрам  $e_k, e_{k+1}$ , всегда имеют хотя бы одну общую строку с ненулевыми элементами.

**Доказательство.** 1. Напрямую следует из леммы 1.17.

2. Справедливо, поскольку все вершины простого сборного графа, кроме начальной и конечной, имеют валентность 4.

3. Наличие общей строки с ненулевыми элементами эквивалентно тому, что у ребер есть общая вершина. Поскольку мы нумеровали ребра, двигаясь вдоль трансверсали, последовательные столбцы соответствуют ребрам, не являющимся соседями в общей вершине. Для вершины  $v$  и инцидентного ей ребра  $e$  существуют ровно два соседа ребра  $e$  в вершине  $v$  и только одно ребро, инцидентное  $v$  и не являющееся

соседом  $e$  в вершине  $v$ . Следовательно, два не идущих подряд столбца с общей ненулевой строкой соответствуют соседним ребрам.

3. Мы записываем ребра в том же порядке, в котором встречаем их, двигаясь вдоль трансверсали. Поэтому у двух ребер с подряд идущими номерами всегда есть общая вершина.  $\square$

Например, у столбцов матрицы  $I(\Gamma_{1122})$ , соответствующих ребрам  $e_1$  и  $e_2$ , ненулевые элементы находятся только в строке, соответствующей вершине 1.

### §3. СТРУКТУРНЫЕ ГРАФЫ И ИХ МАТРИЦЫ

В этом параграфе мы рассмотрим серии графов, широко известные благодаря их экстремальным свойствам, см. [1, 2, 5]. Начнем с простых примеров сборных графов.

**3.1. Примеры простых сборных графов.** Начнем с графа, у которого нет 4-валентных вершин. Затем будем последовательно добавлять к нему петли, для того чтобы получить последовательность графов  $\Gamma_\epsilon, \Gamma_{11}, \Gamma_{1122}, \Gamma_{112233} \dots$ , изображенную на рисунке 6.

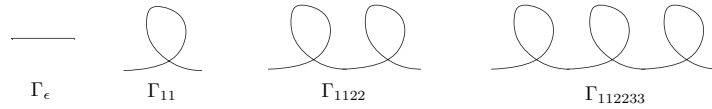


Рис. 6. Реализуемые сборные графы

Матрицы инцидентности этих графов имеют следующий вид:

$$I(\Gamma_\epsilon) = \begin{matrix} & e_0 \\ 0 & \begin{pmatrix} 1 \\ 1 \end{pmatrix} \\ 1 & \end{matrix}, \quad I(\Gamma_{11}) = \begin{matrix} & e_0 & e_1 & e_2 \\ 0 & \begin{pmatrix} 1 & 0 & 0 \\ 1 & 2 & 1 \\ 2 & 0 & 1 \end{pmatrix} \\ 1 & \end{matrix},$$

$$I(\Gamma_{1122}) = \begin{matrix} & e_0 & e_1 & e_2 & e_3 & e_4 \\ 0 & \begin{pmatrix} 1 & 0 & 0 & 0 & 0 \\ 1 & 2 & 1 & 0 & 0 \\ 2 & 0 & 1 & 2 & 1 \\ 3 & 0 & 0 & 0 & 1 \end{pmatrix} \\ 1 & \end{matrix},$$

$$I(\Gamma_{112233}) = \begin{matrix} & e_0 & e_1 & e_2 & e_3 & e_4 & e_5 & e_6 \\ \begin{matrix} 0 \\ 1 \\ 2 \\ 3 \\ 4 \end{matrix} & \begin{pmatrix} 1 & 0 & 0 & 0 & 0 & 0 & 0 \\ 1 & 2 & 1 & 0 & 0 & 0 & 0 \\ 0 & 0 & 1 & 2 & 1 & 0 & 0 \\ 0 & 0 & 0 & 0 & 1 & 2 & 1 \\ 0 & 0 & 0 & 0 & 0 & 0 & 1 \end{pmatrix} \end{matrix}.$$

Легко видеть, что в каждой из строк, соответствующих вершинам  $v_k$ ,  $k \in \{1, \dots, n\}$ , есть блок 121, начинающийся со столбца, соответствующего ребру  $e_{2(k-1)}$ .

**3.2. Граф с заданным сборным числом.** Покажем, как построить граф с произвольным сборным числом. Рассмотрим сборный граф со сборным словом  $u = 122133$ , см. рисунок 7.

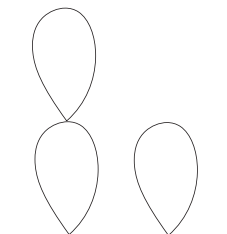


Рис. 7. Сборный граф  $\Gamma_u$  со сборным словом  $u = 122133$ .

Его матрица инцидентности имеет вид

$$I(\Gamma_u) = \begin{matrix} & e_0 & e_1 & e_2 & e_3 & e_4 & e_5 & e_6 \\ \begin{matrix} 0 \\ 1 \\ 2 \\ 3 \\ 4 \end{matrix} & \begin{pmatrix} 1 & 0 & 0 & 0 & 0 & 0 & 0 \\ 1 & 1 & 0 & 1 & 1 & 0 & 0 \\ 0 & 1 & 2 & 1 & 0 & 0 & 0 \\ 0 & 0 & 0 & 0 & 1 & 2 & 1 \\ 0 & 0 & 0 & 0 & 0 & 0 & 1 \end{pmatrix} \end{matrix}.$$

Далее, рассмотрим композицию  $\Gamma_n := \Gamma_{aa} \circ \Gamma_u^n$ . В [1] было установлено, что сборное число этой композиции  $\text{Ap}(\Gamma_n) = n + 1$ . Таким образом, граф  $\Gamma_u$  помогает нам построить пример сборного графа с заданным сборным числом  $k$ . Заметим, что, по построению,  $|\Gamma_k| = 3k + 1$ .



### 3.3. Петельный граф.

**Определение 3.1.** Пусть  $n$  – натуральное число. Петельный граф размера  $n$ , обозначаемый  $TC_n$ , – это простой сборный граф, соответствующий слову, которое определяется индуктивно следующим образом: начальное слово есть  $w_{TC_1} = 11$ , далее каждое слово  $w_{TC_n}$  получается из  $w_{TC_{n-1}}$  путем замены последней буквы  $(n-1)$  на подслово  $n(n-1)n$ .

Для примера, первые четыре слова этой последовательности суть 11, 1212, 121323, 12132434, а  $n$ -тое слово это  $w_{TC_n} = 121324354 \dots (n-1)(n-2)n(n-1)n$ .

Рисунки 10, 11 и 12 ниже изображают серию примеров рассматриваемых графов при  $n = 2, 3, 4$ ; помимо графов приведены соответствующие сборные слова и матрицы инцидентности.

**Пример 3.2.** Пусть  $n = 2$ . Тогда  $w_{TC_2} = 1212$ ,

$$I(TC_2) = \begin{matrix} & e_0 & e_1 & e_2 & e_3 & e_4 \\ \begin{matrix} 0 \\ 1 \\ 2 \\ 3 \end{matrix} & \begin{pmatrix} 1 & 0 & 0 & 0 & 0 \\ 1 & 1 & 1 & 1 & 0 \\ 0 & 1 & 1 & 1 & 1 \\ 0 & 0 & 0 & 0 & 1 \end{pmatrix} \end{matrix},$$

соответствующий граф изображен на рисунке 10.

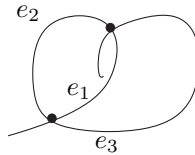


Рис. 10.  $TC_2$  с помеченными ребрами.

**Пример 3.3.** Пусть  $n = 3$ . Тогда  $w_{TC_3} = 121323$ ,

$$I(TC_3) = \begin{matrix} & e_0 & e_1 & e_2 & e_3 & e_4 & e_5 & e_6 \\ \begin{matrix} 0 \\ 1 \\ 2 \\ 3 \\ 4 \end{matrix} & \begin{pmatrix} 1 & 0 & 0 & 0 & 0 & 0 & 0 \\ 1 & 1 & 1 & 1 & 0 & 0 & 0 \\ 0 & 1 & 1 & 0 & 1 & 1 & 0 \\ 0 & 0 & 0 & 1 & 1 & 1 & 1 \\ 0 & 0 & 0 & 0 & 0 & 0 & 1 \end{pmatrix} \end{matrix},$$

соответствующий граф изображен на рисунке 11.

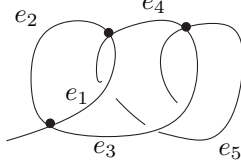


Рис. 11.  $TC_3$  с помеченными ребрами.

**Пример 3.4.** Пусть  $n = 4$ . Тогда  $w_{TC_4} = 12132434$ ,

$$I(TC_4) = \begin{matrix} & e_0 & e_1 & e_2 & e_3 & e_4 & e_5 & e_6 & e_7 & e_8 \\ \begin{matrix} 0 \\ 1 \\ 2 \\ 3 \\ 4 \\ 5 \end{matrix} & \begin{pmatrix} 1 & 0 & 0 & 0 & 0 & 0 & 0 & 0 & 0 \\ 1 & 1 & 1 & 1 & 0 & 0 & 0 & 0 & 0 \\ 0 & 1 & 1 & 0 & 1 & 1 & 0 & 0 & 0 \\ 0 & 0 & 0 & 1 & 1 & 0 & 1 & 1 & 0 \\ 0 & 0 & 0 & 0 & 0 & 1 & 1 & 1 & 1 \\ 0 & 0 & 0 & 0 & 0 & 0 & 0 & 0 & 1 \end{pmatrix} \end{matrix},$$

соответствующий граф изображен на рисунке 12.

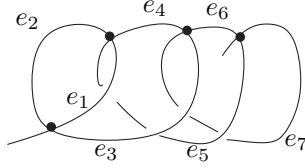


Рис. 12.  $TC_4$  с помеченными ребрами.

На рисунке 13 представлен общий вид петельного графа и изображен процесс добавления вершины.

**Предложение 3.5.** Для любого  $n \geq 3$  строки матрицы  $I(TC_n)$  имеют следующий вид:

$$\begin{aligned} R_0(TC_n) &= (1, \underbrace{0, \dots, 0}_{2n \text{ раз}}, 0), & R_1(TC_n) &= (1, 1, 1, 1, \underbrace{0, \dots, 0}_{2n-3 \text{ раз}}), \\ R_k(TC_n) &= (\underbrace{0, \dots, 0}_{2k-3 \text{ раз}}, 1, 1, 0, 1, 1, \underbrace{0, \dots, 0}_{2n-2k-1 \text{ раз}}), & k &= 2, \dots, n-1, \end{aligned}$$



$$R_n(TC_n) = (\underbrace{0, \dots, 0}_{2n-3 \text{ раз}}, 1, 1, 1, 1), \quad R_{n+1}(TC_n) = (\underbrace{0, \dots, 0}_{2n \text{ раз}}, 1).$$

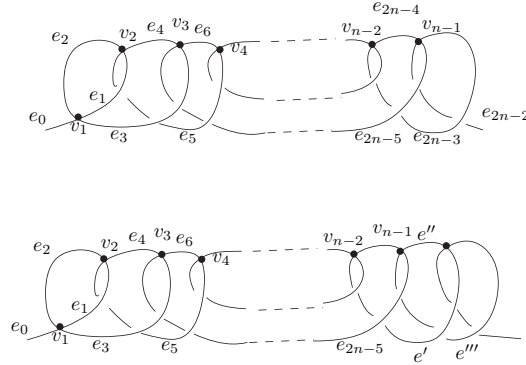


Рис. 13. Добавление вершины к  $TC_{n-1}$ .

**Доказательство.** Заметим, что строка, отвечающая вершине 0 (соответственно,  $n+1$ ), содержит ровно один элемент 1 в первом (соответственно, последнем) столбце, а остальные элементы нулевые. Строка, соответствующая вершине 1 (соответственно,  $n$ ) содержит единицы в четырех последовательных столбцах, начиная с  $e_0$  (соответственно, с  $e_{(2n-1)-2}$ ). Любой другой столбец, соответствующий вершине  $k \in \{2, \dots, n-1\}$ , содержит блок  $[1\ 1\ 0\ 1\ 1]$ , начинающийся со столбца, отвечающего ребру  $e_{2k-3}$ . Простой подсчет элементов завершает доказательство.  $\square$

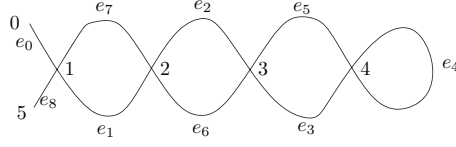
### 3.4. Возвратные слова.

**Определение 3.6.** Возвратное слово – это 2-слово, имеющее вид

$$a_1 a_2 \dots a_{n-1} a_n a_n a_{n-1} \dots a_2 a_1.$$

Далее возвратное слово с  $n$  различными буквами мы будем обозначать  $\text{ret}(n)$ .

Возвратные слова используются для представления частей генома микронуклеуса, соответствующих часто встречающимся последовательностям, и играют важную роль в изучении индекса вложенности, более подробно см. [4] и [3].

Рис. 14. Сборный граф, соответствующий слову  $\text{ret}(4)$ .

**Пример 3.7.** Рассмотрим, например, 2-слово 12344321. Соответствующий ему сборный граф изображен на рисунке 14.

Матрица инцидентности этого графа имеет вид

$$I(\Gamma_{\text{ret}(4)}) = \begin{matrix} & e_0 & e_1 & e_2 & e_3 & e_4 & e_5 & e_6 & e_7 & e_8 \\ \begin{matrix} 0 \\ 1 \\ 2 \\ 3 \\ 4 \\ 5 \end{matrix} & \begin{pmatrix} 1 & 0 & 0 & 0 & 0 & 0 & 0 & 0 & 0 & 0 \\ 1 & 1 & 0 & 0 & 0 & 0 & 0 & 0 & 1 & 1 \\ 2 & 0 & 1 & 1 & 0 & 0 & 0 & 1 & 1 & 0 \\ 3 & 0 & 0 & 1 & 1 & 0 & 1 & 1 & 0 & 0 \\ 4 & 0 & 0 & 0 & 1 & 2 & 1 & 0 & 0 & 0 \\ 5 & 0 & 0 & 0 & 0 & 0 & 0 & 0 & 0 & 1 \end{pmatrix} \end{matrix}.$$

**Предложение 3.8.** Для любого  $n \geq 2$  строки матрицы  $I(\Gamma_{\text{ret}(n)})$  имеют следующий вид:

$$\begin{aligned} R_0(\text{ret}(n)) &= (1, \underbrace{0, \dots, 0}_{2n \text{ раз}}) \\ R_k(\text{ret}(n)) &= (\underbrace{0, \dots, 0}_{k-1 \text{ раз}}, 1, 1, \underbrace{0, \dots, 0}_{2n-2k-1 \text{ раз}}, 1, 1, \underbrace{0, \dots, 0}_{k-1 \text{ раз}}), \quad k = 1, \dots, n-1, \\ R_n(\text{ret}(n)) &= (\underbrace{0, \dots, 0}_{n-1 \text{ раз}}, 1, 2, 1, \underbrace{0, \dots, 0}_{n-1 \text{ раз}}), \\ R_{n+1}(\text{ret}(n)) &= (\underbrace{0, \dots, 0}_{2n \text{ раз}}, 1). \end{aligned}$$

Иными словами, если исключить первую и последнюю строки, то матрица инцидентности графа со сборным словом  $\text{ret}(n)$  симметрична относительно столбца, индексированного ребром  $e_n$ .

**Доказательство.** Первая и последняя строки соответствуют начальной и конечной вершинам, каждой из которых инцидентно ровно одно ребро, а, значит, в каждой из строк имеется ровно один ненулевой элемент. Единственная вершина, в которой есть петля, – это вершина с



**Предложение 3.11.** Для любого  $n \geq 2$  строки матрицы  $I(\Gamma_{\text{гер}(n)})$  имеют следующий вид:

$$\begin{aligned} R_0(\text{гер}(n)) &= (1, \underbrace{0, \dots, 0}_{2n \text{ раз}}) \\ R_k(\text{гер}(n)) &= (\underbrace{0, \dots, 0}_{k-1 \text{ раз}}, 1, \underbrace{1, 0, \dots, 0}_{n-2 \text{ раз}}, 1, 1, \underbrace{0, \dots, 0}_{n-k \text{ раз}}), \quad k = 1, \dots, n \\ R_{n+1}(\text{гер}(n)) &= (\underbrace{0, \dots, 0}_{2n \text{ раз}}, 1). \end{aligned}$$

**Доказательство.** Рассмотрим цепь ребер  $e_0, \dots, e_{n-1}$ , соответствующих первым  $n$  столбцам нашей матрицы. Ребро  $e_i$ ,  $i \in \{0, 1, \dots, n-1\}$ , соединяет вершины  $i$  и  $i+1$ . Отсюда следует, что элементы  $R_i(\text{гер}(n))[i]$  ( $i$ -тый элемент  $i$ -той строки) и  $R_{i+1}(\text{гер}(n))[i]$  ( $i$ -тый элемент  $(i+1)$ -ой строки) равны 1 для  $i \in \{0, 1, \dots, n-1\}$ . Ребро  $e_n$  соединяет вершины  $n$  и 1, откуда  $R_1(\text{гер}(n))[n] = 1$  и  $R_n(\text{гер}(n))[n] = 1$ . Далее, рассмотрим ребра  $e_{n+1}, \dots, e_{2n}$ , соответствующие последним  $n$  столбцам. Ребро  $e_i$ ,  $i \in \{n+1, n+2, \dots, 2n\}$ , соединяет вершины  $i-n$  и  $i-n+1$ . Поэтому элементы  $R_i(\text{гер}(n))[n+i]$  и  $R_{i+1}(\text{гер}(n))[n+i]$  равны 1 при  $i \in \{n+1, n+2, \dots, 2n\}$ . Итак, матрица инцидентности нашего графа имеет описанный выше вид.  $\square$

#### §4. ВНУТРЕННЯЯ ПЕТЕЛЬНАЯ ПОДСТАНОВКА

Внутренняя петельная подстановка – это важное преобразование сборного графа, см. [5] для более подробной информации. В этом параграфе мы описываем соответствующие преобразования матриц. Начнем с необходимых определений.

**Определение 4.1.** *Петля* это сборный граф со сборным словом 11, см. рисунок 16.

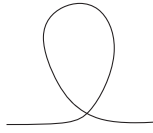


Рис. 16. Петля  $\Gamma_{(1)}$ .

**Лемма 4.2** ([5, стр. 15, определение 5.1]). Пусть  $\Gamma$  – сборный граф, а  $\Gamma'$  получается из  $\Gamma$  заменой одного из ребер на петлю  $\Gamma_{(1)}$ . Тогда  $\Gamma'$  – сборный граф.

**Доказательство.** Легко видеть, что все вершины  $\Gamma'$  имеют валентность 1 или 4, и число вершин валентности 1 осталось прежним. Покажем теперь, что в  $\Gamma'$  есть эйлеров трансверсальный путь. Рассмотрим эйлеров трансверсальный путь в  $\Gamma$ . Ребро, которое заменили на петлю, – часть этой трансверсали. Тогда можно включить рассматриваемую петлю в уже существующую эйлерову трансверсаль и получить нужный путь в  $\Gamma'$ .  $\square$

Рисунок 17 иллюстрирует включение петли в трансверсаль в двух стандартных случаях, когда петля добавляется на другую петлю и на ребро, петлей не являющееся.

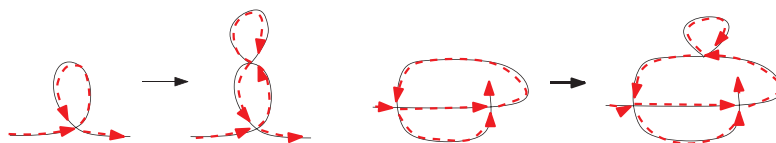


Рис. 17. Включение петли в имеющуюся трансверсаль.

Применив последнюю лемму несколько раз, можно получить, что замена нескольких ребер графа на петли дает сборный граф. Последнее обстоятельство приводит нас к следующему определению.

**Определение 4.3** ([5, определение 5.1]). Пусть  $\Gamma$  – сборный граф, а  $\tilde{\Gamma}$  получен из  $\Gamma$  заменой каждого ребра на петлю  $\Gamma_{(1)}$ . Тогда граф  $\tilde{\Gamma}$  называют *графом петельной подстановки* или графом, полученным петельной подстановкой. Сборный граф  $\tilde{\Gamma}^\circ$  называется *графом внутренней петельной подстановки*, если он получается из  $\Gamma$  подстановкой петли  $\Gamma_{(1)}$  вместо каждого из ребер, кроме двух ребер, инцидентных концевым вершинам.

Матрицу инцидентности графа (внутренней) петельной подстановки легко построить по матрице инцидентности исходного графа.

**Предложение 4.4.** Пусть  $\Gamma$  – сборный граф и пусть  $\Gamma^{(i)}$  получен из  $\Gamma$  заменой  $i$ -того ребра на петлю  $\Gamma_{(1)}$ . Тогда верны следующие утверждения.

1.  $I(\Gamma^{(i)})$  получается из  $I(\Gamma)$ , если вместо  $i$ -того столбца подставить три столбца  $C_1, C_2, C_3$  и добавить строку  $R$  описанным ниже способом.

Пусть ненулевые элементы столбца  $c_i$  расположены в  $k$ -той и  $l$ -той строках и  $k \leq l$ . При  $k = l$  строка  $R$  вставляется под строкой с номером  $k$ . При  $k \neq l$  строка  $R$  вставляется над строкой с номером  $l$ .

Элементы вставляемых столбцов таковы: в строке  $R$  столбца  $C_2$  стоит элемент 2, в столбце  $C_1$  единицы стоят в строках  $R$  и  $k$ , столбец  $C_3$  содержит 1 в строке  $R$  и 1 в строке, которая ранее была  $l$ -той. Все остальные элементы добавленных строк и столбцов равны 0.

2.  $I(\Gamma)$  получается из  $I(\Gamma^{(i)})$  вычеркиванием строки и столбца, соответствующих  $\Gamma_{(1)}$ , и заменой двух столбцов, у которых в вычеркнутой строке стоят единицы, на их сумму.

**Доказательство.** 1. Добавление петли в граф добавляет два ребра и вершину. По определению, петля соответствует столбцу, в котором в добавленной строке стоит элемент 2. Ребро между вершинами  $k$  и  $l$  оказывается разделено добавленной вершиной на два ребра, а потому, соответствующий столбец должен быть заменен на два столбца: с единицами на  $k$ -том месте и в новой строке ( $C_1$ ), и единицами на  $l$ -том месте и в новой строке ( $C_3$ ). Также нужно добавить между ними новый столбец  $C_2$ , который соответствует петле.

2. Наоборот, если  $\Gamma_{(1)}$  – петля, стоящая на  $i$ -том ребре, то строка, соответствующая вершине  $\Gamma_{(1)}$ , содержит ровно три ненулевых элемента: 1, 1, 2. Необходимо удалить столбец, содержащий элемент 2, а два оставшихся заменить либо на столбец с единицами в тех строках, в которых они стояли, если это разные строки, либо на столбец с элементом 2, если единицы в заменяемых столбцах стояли в одной и той же строке. Остальные элементы остаются нулевыми. Очевидно, что подставляемый столбец – это как раз сумма удаляемых столбцов.  $\square$

**Следствие 4.5.** Пусть  $\Gamma$  – сборный граф. Тогда матрицу инцидентности  $I(\tilde{\Gamma})$  (соответственно,  $I(\tilde{\Gamma}^\circ)$ ) графа петельной (соответственно, внутренней петельной) подстановки можно получить из  $I(\Gamma)$ , применяя процедуру из предложения 4.4 последовательно к каждому столбцу (соответственно, к каждому столбцу кроме первого и



и

$$I(\Gamma_{1221}) = \begin{matrix} & e_0 & e_1 & e_2 & e_3 & e_4 \\ \begin{matrix} 0 \\ 1 \\ 2 \\ 3 \end{matrix} & \begin{pmatrix} 1 & 0 & 0 & 0 & 0 \\ 1 & 1 & 0 & 1 & 1 \\ 0 & 1 & 2 & 1 & 0 \\ 0 & 0 & 0 & 0 & 1 \end{pmatrix} \end{matrix}.$$

Ниже мы приведем алгоритм, который позволяет построить матрицу исходного сборного графа по матрице графа петельной подстановки. Для упрощения записей будем считать, что число вершин в графе петельной подстановки равно  $3n + 3$ , а число вершин в графе внутренней петельной подстановки равно  $3n + 1$ . В таком случае, у графа петельной подстановки  $6n + 3$  ребер, а у графа внутренней петельной подстановки, соответственно,  $6n - 1$  ребро.

#### Алгоритм 4.7.

1. Пометим все строки, которые соответствуют петлям.
2. Заменяем тройку столбцов с номерами  $k, k + 1, k + 2$  на столбец, представляющий собой векторную сумму столбцов с индексами  $k, k + 2$ . Здесь  $k = 0, 3, 6, \dots, 6n$  в случае петельной подстановки и  $k = 1, 4, 7, \dots, 6n - 5$  в случае внутренней петельной подстановки.
3. Удалим строки, отмеченные на шаге 1.

**Доказательство.** Данный алгоритм основан на том, что каждое вхождение числа 2 в матрицу инцидентности относится к петле, добавленной при петельной подстановке. Таким образом, мы должны удалить все строки и столбцы, содержащие элемент 2, и склеить столбцы  $k, k + 2$ , относящиеся к одному и тому же ребру. Мы одинаково действуем для каждой тройки столбцов, начиная с 0-го столбца в случае петельной подстановки и с 1-го столбца в случае внутренней петельной подстановки.  $\square$

**Пример 4.8.** Чтобы проиллюстрировать алгоритм, приведенный выше, рассмотрим граф петельной подстановки, представленный на рисунке 19. Для начала пометим все строки, соответствующие петлям:



$$I(\Gamma) = \begin{matrix} & e_0 & e_1 & e_2 & e_3 & e_4 & e_5 & e_6 & e_7 & e_8 & e_9 & e_{10} & e_{11} & e_{12} & e_{13} & e_{14} \\ \begin{matrix} 0 \\ 1 \\ 2 \\ 3 \\ 4 \\ 5 \\ 6 \\ 7 \\ 8 \end{matrix} & \begin{pmatrix} 1 & 0 & 0 & 0 & 0 & 0 & 0 & 0 & 0 & 0 & 0 & 0 & 0 & 0 & 0 & 0 \\ 1 & 2 & 1 & 0 & 0 & 0 & 0 & 0 & 0 & 0 & 0 & 0 & 0 & 0 & 0 & 0 \\ 0 & 0 & 1 & 1 & 0 & 0 & 0 & 0 & 0 & 0 & 0 & 1 & 1 & 0 & 0 & 0 \\ 0 & 0 & 0 & 1 & 2 & 1 & 0 & 0 & 0 & 0 & 0 & 0 & 0 & 0 & 0 & 0 \\ 0 & 0 & 0 & 0 & 0 & 1 & 1 & 0 & 1 & 1 & 0 & 0 & 0 & 0 & 0 & 0 \\ 0 & 0 & 0 & 0 & 0 & 0 & 1 & 2 & 1 & 0 & 0 & 0 & 0 & 0 & 0 & 0 \\ 0 & 0 & 0 & 0 & 0 & 0 & 0 & 0 & 0 & 1 & 2 & 1 & 0 & 0 & 0 & 0 \\ 0 & 0 & 0 & 0 & 0 & 0 & 0 & 0 & 0 & 0 & 0 & 0 & 1 & 2 & 1 & 1 \\ 0 & 0 & 0 & 0 & 0 & 0 & 0 & 0 & 0 & 0 & 0 & 0 & 0 & 0 & 0 & 1 \end{pmatrix} \end{matrix}.$$

Затем выполним второй шаг и заменим столбцы на сумму векторов:

$$\begin{matrix} & e_0 + e_2 & e_3 + e_5 & e_6 + e_8 & e_9 + e_{11} & e_{12} + e_{14} \\ \begin{matrix} 0 \\ 1 \\ 2 \\ 3 \\ 4 \\ 5 \\ 6 \\ 7 \\ 8 \end{matrix} & \begin{pmatrix} 1 & 0 & 0 & 0 & 0 \\ 2 & 0 & 0 & 0 & 0 \\ 1 & 1 & 0 & 1 & 1 \\ 0 & 2 & 0 & 0 & 0 \\ 0 & 1 & 2 & 1 & 0 \\ 0 & 0 & 2 & 0 & 0 \\ 0 & 0 & 0 & 2 & 0 \\ 0 & 0 & 0 & 0 & 2 \\ 0 & 0 & 0 & 0 & 1 \end{pmatrix} \end{matrix}.$$

Наконец, удалим отмеченные строки и получим матрицу инцидентности для графа со сборным словом  $w = 2442$ :

$$I(\Gamma') = \begin{matrix} & e_0 + e_2 & e_3 + e_5 & e_6 + e_8 & e_9 + e_{11} & e_{12} + e_{14} \\ \begin{matrix} 0 \\ 2 \\ 4 \\ 8 \end{matrix} & \begin{pmatrix} 1 & 0 & 0 & 0 & 0 \\ 1 & 1 & 0 & 1 & 1 \\ 0 & 1 & 2 & 1 & 0 \\ 0 & 0 & 0 & 0 & 1 \end{pmatrix} \end{matrix}.$$

Очевидно, что матрица инцидентности  $I(\Gamma_{1221})$  графа, представленного на рисунке 18, и матрица  $I(\Gamma')$  совпадают.

### §5. МАТРИЦА ИНЦИДЕНТНОСТИ ДЛЯ КОМПОЗИЦИИ

Матрица инцидентности композиции получается как блочная матрица с блоками, соответствующими матрицам инцидентности компонент, за исключением строк, относящихся к конечной (начальной) вершинам.

**Предложение 5.1.** Пусть  $\Gamma_1$  и  $\Gamma_2$  – два простых сборных графа с матрицами инцидентности  $I(\Gamma_1)$  и  $I(\Gamma_2)$  порядков  $|\Gamma_1|=n$  и  $|\Gamma_2|=t$

соответственно. Тогда матрица инцидентности композиции  $I(\Gamma_1 \circ \Gamma_2)$ , содержащая  $n + m + 2$  строки и  $2n + 2m + 1$  столбец, имеет вид (считаем, что строки и столбцы индексируются с 0):

1.  $I(\Gamma_1 \circ \Gamma_2)_{k,l} = I(\Gamma_1)_{k,l}$ , если  $0 \leq k \leq n$ ,  $0 \leq l \leq 2n$ ,
2.  $I(\Gamma_1 \circ \Gamma_2)_{k,l} = 0$ , если  $n < k \leq m + n + 1$  и  $0 \leq l < 2n$   
или если  $0 \leq k < n + 1$  и  $2n < l \leq 2m + 2n$ ,
3.  $I(\Gamma_1 \circ \Gamma_2)_{k,l} = I(\Gamma_2)_{k-n,l-2n}$ , если  
 $n + 1 \leq k \leq m + n + 1$ ,  $2n \leq l \leq 2n + 2m$ .

**Доказательство.** Действительно, вершины композиции графов делятся на две части: вершины  $\Gamma_1$ , исключая конечную, и вершины  $\Gamma_2$ , исключая начальную. Внутри каждой из частей вершины связаны ребрами так же, как и в исходных графах. Ребер между вершинами из разных частей нет, за исключением ребра  $e_{2n}$ , соответствующего столбцу  $2n$ , которое соединяет две части.  $\square$

Чтобы проиллюстрировать это предложение, рассмотрим, например, два графа со сборными словами 1212 и 1221, см. рис. 20.

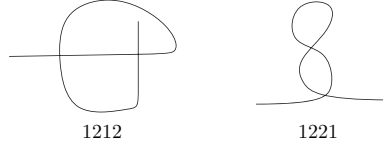


Рис. 20. Графы до композиции.

Матрицы инцидентности этих графов таковы:

$$I(\Gamma_{1212}) = \begin{matrix} & e_0 & e_1 & e_2 & e_3 & e_4 \\ \begin{matrix} 0 \\ 1 \\ 2 \\ 3 \end{matrix} & \begin{pmatrix} 1 & 0 & 0 & 0 & 0 \\ 1 & 1 & 1 & 1 & 0 \\ 0 & 1 & 1 & 1 & 1 \\ 0 & 0 & 0 & 0 & 1 \end{pmatrix} \end{matrix}, \quad I(\Gamma_{1221}) = \begin{matrix} & e_0 & e_1 & e_2 & e_3 & e_4 \\ \begin{matrix} 0 \\ 1 \\ 2 \\ 3 \end{matrix} & \begin{pmatrix} 1 & 0 & 0 & 0 & 0 \\ 1 & 1 & 0 & 1 & 1 \\ 0 & 1 & 2 & 1 & 0 \\ 0 & 0 & 0 & 0 & 1 \end{pmatrix} \end{matrix}.$$

Матрица инцидентности композиции  $1212 \circ 1221$  строится следующим способом. Возьмем  $I(\Gamma_{1212})$  и удалим последнюю строку. Затем возьмем  $I(\Gamma_{1221})$  и удалим первую строку. После этого запишем  $I(\Gamma_{1221})$  внизу, начиная со столбца, который соответствует ребру, инцидентному конечной вершине первого графа, а остальные элементы заполним нулями:

	$e_0$	$e_1$	$e_2$	$e_3$	$e_4$	$e_5$	$e_6$	$e_7$	$e_8$
0	1	0	0	0	0	0	0	0	0
1	1	1	1	1	0	0	0	0	0
2	0	1	1	1	1	0	0	0	0
3	0	0	0	0	1	1	0	1	1
4	0	0	0	0	0	1	2	1	0
5	0	0	0	0	0	0	0	0	1

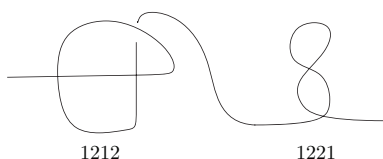


Рис. 21. Графы после композиции.

## СПИСОК ЛИТЕРАТУРЫ

1. A. Angeleska, N. Jonoska, M. Saito, *DNA recombinations through assembly graphs*. — *Discr. Appl. Math.* **157** (2009), 3020–3037.
2. A. Angeleska, N. Jonoska, M. Saito, L. F. Landweber, *RNA-guided DNA assembly*. — *J. Theor. Biology* **248** (4) (2007), 706–720.
3. R. Arredondo, *Properties of graphs used to model DNA recombination*. — *Grad. Theses and Dissertations* (2014). <https://scholarcommons.usf.edu/etd/4979>.
4. R. Arredondo, *Reductions on double occurrence words*. — [arXiv:1311.3543](https://arxiv.org/abs/1311.3543), November, 2013.
5. J. Burns, E. Dolzhenko, N. Jonoska, T. Muche, M. Saito, *Four-regular graphs with rigid vertices associated to DNA recombination*. — *Discr. Appl. Math.* **161** (2013), 1378–1394.
6. A. Ehrenfeucht, T. Harju, I. Petre, D. M. Prescott, G. Rozenberg, *Computing in Living Cells*. Springer, 2005.
7. A. Ehrenfeucht, T. Harju, G. Rozenberg, *Gene assembly through cyclic graph decomposition*. — *Theor. Comput. Sci.* **281** (2002), 325–349.
8. L. Kari, L. F. Landweber, *Computational power of gene rearrangement*. in: *DNA Based Computers* (E. Winfree, D.K. Gifford eds.), AMS (1999), pp. 207–216.
9. M. Nowacki, V. Vijayan, Y. Zhou, K. Schotanus, T. G. Doak, L. F. Landweber, *RNA-mediated epigenetic programming of a genome-rearrangement pathway*. — *Nature* **451** (2008), 153–159.
10. D. M. Prescott, A. Ehrenfeucht, G. Rozenberg, *Template-guided recombination for IES elimination and unscrambling of genes in stichotrichous ciliates*. — *J. Theor. Biology* **222** (2003), 323–330.

Guterman A. E., Kreines E. M., Ostroukhova N. V. 2-words: their graphs and matrices.

Double-occurrence words play an important role in genetics for describing epigenetic genome rearrangements. A useful geometric representation for double-occurrence words is given by the so-called assembly graphs. The paper investigates properties of the incidence matrices that correspond to assembly graphs. An explicit matrix characterization for simple assembly graphs of a given structure and series of constructions, using these graphs and important for genetic investigations, are provided.

Московский государственный  
университет им. М. В. Ломоносова,  
Москва 119991, Россия;  
Московский физико-технический институт,  
Долгопрудный 141701, Россия  
*E-mail: guterman@list.ru*

Поступило 7 октября 2019 г.

Московский государственный  
университет им. М. В. Ломоносова  
Москва 119991, Россия;  
Московский физико-технический институт,  
Долгопрудный, 141701, Россия  
*E-mail: elena.kreines@gmail.com*

Московский государственный  
университет им. М. В. Ломоносова  
Москва 119991, Россия  
*E-mail: natosova@gmail.com*